## 九州大学学術情報リポジトリ Kyushu University Institutional Repository

## ソフトウェアの消費エネルギー解析と最適化技術

石原,亨 九州大学システムLSI研究センター

https://hdl.handle.net/2324/10542

出版情報:回路とシステム軽井沢ワークショップ. 21, pp.343-348, 2008-04-21

バージョン: 権利関係:

## ソフトウェアの消費エネルギー解析と最適化技術

# Techniques for Estimating and Reducing the Energy

## **Consumption of Embedded Software**

石原 亨

九州大学システム LSI 研究センター

Tohru ISHIHARA

System LSI Research Center, Kyushu University

#### 1 はじめに

携帯機器の普及と共に組込みシステムの省エネ ルギー化はますます重要になっている。しかし、 組込みソフトウェア設計の分野では省エネルギ 一化に対する意識はそれほど高くない。本稿では、 筆者らの提案するソフトウェアデバッガベース の消費エネルギー解析手法を紹介する[1]。組込 みソフトウェア設計者が設計時に消費エネルギ ーを解析できる環境の構築を目標としている。本 手法は、1)ソフトウェアデバッガから容易に抽 出可能なパラメータを用いてプロセッサシステ ムの消費エネルギーをキャラクタライズする手 法と、2) キャラクタライズにより得られたモデ ルからソフトウェアの消費エネルギーを解析す る技術から構成される。モデルには線形近似モデ ルを使用する。ゲートレベルの電力見積もり値を 基準値としてキャラクタライズを行う。プロセッ サコア、キャッシュメモリおよび外部主記憶のエ ネルギー消費をキャラクタライズの対象とする。 デジタルシステムのエネルギー見積もり手法は 今日までに数多く提案されている。ソフトウェア の振る舞いが消費エネルギーに与える影響を見 積もる最も正確かつ高速な方法は実チップの電 力を測定することである。しかし、チップの電力 測定では、プロセッサ内部のホットスポット解析 や、数μ秒オーダーの間に消費されるエネルギー を見積もることは難しい。一方、設計初期段階の 見積もり手法の多くはゲートレベルや RTL のシミ ュレーション[2]をベースとしているため、大規 模ソフトウェアの解析には膨大な時間を要する。 命令セットシミュレータ(以下 ISS)を用いた電 力見積もり手法も数多く提案されているが [12][15-18]、電力見積もり機能を持つ ISS は一

部のプロセッサに限られているため、この機能が 無い場合は、専用のシミュレータと電力モデルを 開発する必要がある。本稿で紹介する手法は対象 とするプロセッサシステムに対して半自動でキャラクタライズを行うことを特徴とする。生成さ れた線形モデルは、既存のソフトウェアデバッガ と組み合わせて使用することができる。

本稿の構成は次の通りである。2章で関連研究 を紹介し、3章で提案手法の詳細を説明する。4章では実験結果を示し、5章で提案手法の応用例 を紹介する。6章で本稿をまとめる。

#### 2 関連研究

文献[3,4]では実チップの電力測定手法が提案されている。これらの手法はホストマシンから制御可能なマルチメータを使用する。文献[3]のPowerScopeはメモリやCPUなどの部分システムの電流を個別に測定できないという問題がある。Itsy [4] では上記の問題が解決されているが、短時間の電流変化を測定できない。従って、上記の手法を用いる場合、プロセッサ上でプログラムを連続実行して、平均電流を測定することになる。

ISS を用いた見積もり手法も数多く提案されている。文献[5,6]では、同じ種類の命令を連続実行させた時の実チップの電流測定値を用いて各命令の消費エネルギーをモデル化する手法が提案されている。文献[7]では、上記の手法の拡張が行われている。命令アドレスやデータアドレス、オペランドの値およびレジスタファイルのアドレスを考慮に入れることにより見積もり精度が改善されることが報告されている。主な問題は、すべての命令および異なる命令間の影響を見積もるために大量のテストベンチを使用して繰り

返し電流測定を行う必要がある点である。文献 [8,9]では一部の命令のみを使ってキャラクタラ イズを行うことにより測定の効率化を行ってい る。しかし、何れの手法もチップ内部の消費エネ ルギーの内訳を解析することは難しい。文献 [10,11]では命令の実行回数をパラメータとした 単純な線形近似により 10%未満の誤差でプロセ ッサコアの電力見積もりを行えることが示され ている。 文献 [12]では、サイクル精度のシミュ レータ (Trimaran [13]) を使用して VLIW プロセ ッサのパイプラインステージ毎の消費エネルギ ーを見積もる手法が提案されている。この手法は 特定のプロセッサを対象とした手法であるため、 ターゲットが変わればシミュレータおよび電力 モデルを作り直す必要がある。文献[14] は RTL 記述からサイクル毎に各命令の平均エネルギー をキャラクタライズする手法を提案している。し かし、命令毎の平均エネルギーからプログラムの 実行時に消費されるエネルギーを見積もる方法 は示されていない。上記以外にも線形式を用いて プロセッサシステムの消費エネルギーを見積も る手法は多数提案されているが[15-20]、キャラ クタライズの手法に関して議論した研究は少な い。 文献[21]では、より高精度な消費エネルギ 一の見積もり値を基準値とした重回帰分析によ り、精度の良いモデリングが行えるという一般的 な議論が行われている。しかし、テストベンチの 決定方法に関する議論はない。本稿では、キャラ クタライズのためのテストベンチ生成のガイド ラインを示し、精度の良い線形近似式を得る方法 を提案する。係数の決定には線形計画法を用いる。

#### 3 エネルギー消費モデル

式(1)に示す線形近似式を用いてプロセッサシステムの消費エネルギーを見積もる手法が数 多く提案されている [1-2][5-12][14-21]。

$$E_{estimate} = \sum_{i=0}^{N} c_i \cdot P_i \tag{1}$$

ここで、 $E_{estimate}$ 、 $P_i$ 、 $c_i$ 、および N は、それぞれ消費エネルギーの見積もり値、線形モデルのパラメータ、各パラメータの係数、およびパラメータの数を表す。パラメータ  $P_i$  の種類とその係数

 $c_i$  の値が決定されれば後はパラメータ  $P_i$  の値を 計測することにより、消費エネルギー $E_{estimate}$  を 高速に求めることが出来る。

本稿では、ソフトウェアデバッガから容易に抽 出可能なパラメータを用いてプロセッサおよび 外部主記憶のエネルギー消費をキャラクタライ ズする方法を提案する。ソフトウェアデバッガを 利用する理由は以下の通りである。

- 1. ソフトウェア開発者が利用しやすいこと
- 2. 容易にリターゲット可能であること
- 3. ハードウェアシミュレータと比較して高 速であること

#### 3.2 キャラクタライズの概要

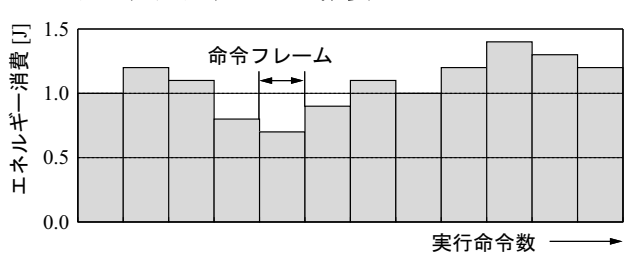


図 1 トレーニングベンチの分割

キャラクタライズ用のテストベンチを**トレーニングベンチ**と呼ぶことにする。まず、図1に示す通り、トレーニングベンチをサブベンチ(以下、命令フレーム)に分割する。命令フレーム毎にゲートレベルの電力見積もりを行い基準値とする。以下のステップで消費エネルギーのキャラクタライズを行う。

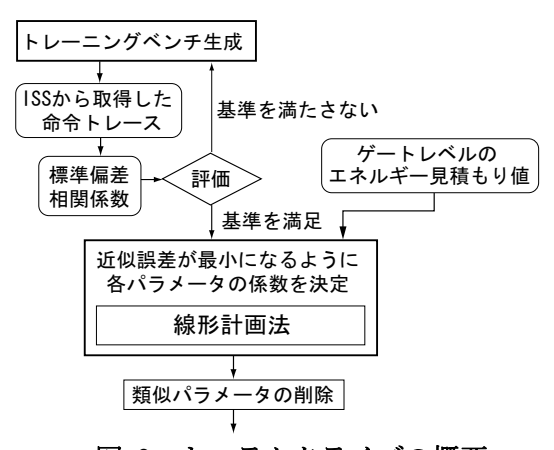


図 2 キャラクタライズの概要

- 1. パラメータの決定
- 2. トレーニングベンチを命令フレームへ分割

- 3. 命令フレーム毎に命令トレースを生成
- 4. 命令フレーム毎にパラメータ値を抽出
- 5. パラメータ毎に標準偏差と相関係数を評価
- 6. 標準偏差と相関係数の値が基準を満たすまでトレーニングベンチを変更
- 7. 命令フレーム毎に消費エネルギーを計測する (ゲートレベルの見積もり値を使う)。
- 8. 線形計画法を用いて係数を決定する。

#### 3.3 パラメータとトレーニングベンチの決定

パラメータにはソフトウェアデバッガから容易に抽出でき、かつ消費エネルギーに影響を与えるものを選択することが重要である。多くのプロセッサシステムでは、メモリアクセスに要するエネルギーが非常に大きな割合を占めるため、キャッシュメモリやスクラッチパッドメモリ、外部メモリへのアクセス回数をパラメータとして使用することは必要不可欠である。これ以外にCPUがストールを起こす原因をパラメータとして使用する。本フレームワークでは以下のパラメータを使用してキャラクタライズを行う。

- 各命令の実行回数
- 命令/データキャッシュミス回数
- 命令キャッシュとデータキャッシュが同時 にミスヒットする回数
- ロードまたはストア命令が連続して実行される回数 (バーストアクセス回数)
- 分岐命令のうち分岐が不成立であった回数
- 分岐不成立と命令キャッシュミスが同時に 発生する回数
- Read After Write (RAW)ハザードの発生回数
- データキャッシュミスと RAW ハザードが同時 に発生する回数
- 乗算命令や除算命令などのマルチサイクル 命令がキャッシュミスを引き起こす回数

キャラクタライズで最も重要なのはテストベンチの決定である。無作為に選択したテストベンチを使用してキャラクタライズを行い、生成された線形式でエネルギー見積もりを行うと、100%以上の誤差を生じることを確認している。テストベンチは以下の二つの基準に基づいて生成する。

#### 1. 各命令フレームから抽出した同じパラメー

#### タ値の標準偏差が基準値以上であること

命令フレーム(図1参照)毎のパラメータ値の変化が小さい場合には、そのパラメータが消費エネルギーに与える影響を見積もることが出来ない。従って、キャラクタライズを行う際にはパラメータの値が命令フレーム毎にばらついていることが望ましい。

### 2. あるパラメータ値と別のパラメータ値との 相関係数が基準値未満であること

パラメータ同士の相関が強い場合は、どちらかの影響が他方のパラメータによって隠蔽される。従って、各パラメータの値がなるべく独立に変化するようなテストベンチおよび命令フレームを作成する必要がある。

現在は上記の基準に基づいてテストベンチを手作成しているが、将来は命令セットやメモリの構成情報などからキャラクタライズ用のテストベンチを自動生成することを目標としている。

#### 3.4 係数の決定方法

係数の決定には線形計画法を用いる。以下に変数を定義する。

- *i*: 命令フレームの番号
- j: パラメータの番号
- N: パラメータの数
- *M*: 命令フレームの数
- E<sub>i</sub>: ゲートレベルシミュレーションで求めた i 番目の命令フレームの消費エネルギー値
- *E*<sup>\*</sup>:式(1)に示す線形近似式を用いて見積もっ た消費エネルギーの見積もり値
- Y<sub>i</sub>: 見積もり誤差の絶対値 | E'<sub>i</sub> − E<sub>i</sub> |
- *P<sub>ij</sub>*: 命令セットシミュレータを用いて抽出し たパラメータの値
- *c<sub>i</sub>*: パラメータの係数(決定変数)

#### Minimize

$$Y_{obj} = \sum_{i=0}^{M} Y_i$$

#### Subject to

$$-Y_{i} \leq \left(\sum_{j=0}^{m} c_{j} \cdot P_{ij}\right) - E_{i} \leq Y_{i} \quad (i = 0..M - 1)$$

$$c_{j}, P_{ij}, E_{i}, Y_{i} \geq 0 \quad (i = 0..M - 1, j = 0..N - 1)$$

#### 4 実験と結果

#### 4.1 実験環境

実験にはM32R-IIプロセッサとSH3-DSPを使用した。何れのプロセッサともRenesas Technology 社から東京大学VDECを通じて提供された、32 ビットRISCマイコンである。CPUは5 段パイプライン構造を持っている。キャッシュメモリとスクラッチパッドメモリを内蔵する。生成した線形式を評価するために5 種類のベンチマーク(JPEG エンコーダ、MPEG2 エンコーダ、compress、FFT、DCT)を用いた。

#### 4.2 キャラクタライズの詳細フロー

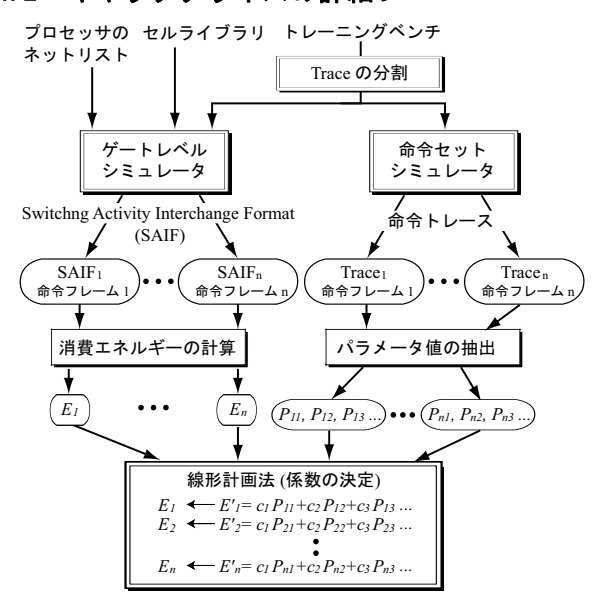


図 3 キャラクタライズの詳細フロー

キャラクタライズの具体的な流れを図 3に示す。まず C コンパイラを用いてトレーニングベンチから目的コードを生成する。次にプロセッサのゲートレベルシミュレーションモデル上で目的コードを実行する。ゲートレベルのシミュレーションには Cadence 社の VerilogXL を用いた。ゲートレベルシミュレーションにより得られたゲートのスイッチング情報 (SAIF: Switching Activity Interchange Format) とセルライブラリの消費エネルギー情報から命令フレーム毎の消費エネルギーを計算する。セルライブラリおよびメモリマクロライブラリには東京大学 VDEC を通じ日立製作所より提供を受けた、 $0.18\mu$ m テクノロジのライブラリを使用した。外部主記憶には SDRAM を仮定した。SDRAM の消費エネルギーモデルは、

Micron テクノロジ社が公開している電力計算スクリプト[21]を使用した。プロセッサの消費エネルギーの計算には SYNOPSYS 社のPowerCompilerを用いた。各命令フレームに対応する各種パラメータ値は命令セットシミュレータにより抽出する。命令セットシミュレータには各プロセッサ向けのGNUデバッガを用いた。係数を決定する際のLPソルバにはILOG社のCPLEXを使用した。

#### 4.3 実験結果

キャラクタライズには各命令の実行回数やキャッシュミス回数など合計 82 個のパラメータを使用し、3.2 節で述べた方法に基づいて生成したトレーニングベンチを用いた。このトレーニングベンチは、各命令を一定回数実行するサブルーチン、キャッシュミスを引き起こすサブルーチンなどから構成される。トレーニングベンチの実行命令数は M32R-II で 375,000 命令、SH3-DSP で 140,000 命令である。キャラクタライズに要した時間は M32R-II で約 160 分、SH3-DSP で約 370 分であった(表2参照)。キャラクタライズには Intel 社製 Xeon™ CPU 3.80GHz の計算機を使用した。

表1. キャラクタライズに要した時間(分)

Target Processor	M32R-II	SH3-DSP
Gate-Level Sim.	127	328
Power Calculation	32	41
Instraction-Set Sim.	< 1	< 1
LP Solver	< 1	< 1
Total CPU Time	160	370

キャラクタライズは長時間を要するが、一度このステップが完了すると後はソフトウェアデバッガの実行速度(約300,000命令/秒)でソフトウェアの消費エネルギー解析を行うことが出来る。実験結果を表1に示した。名前の最後に\_optを付けたベンチマークプログラムは-03オプションでコンパイルした目的コードである。5,000命令実行した際の消費エネルギー200ポイントに対して比較した結果である。実験の結果から7%未満の平均誤差で見積もりが行えることを確認した。図4と図5には最も誤差の大きかったJPEGエンコーダ(JPEG\_0)を、それぞれM32R-IIとSH3-DSP上で実行させた際の消費エネルギーを示した。消

費エネルギーの傾向が正確に見積もられている ことが確認できる。

表 2.	見積は	り誤差
24.		<i>) ,</i> , , , , , , , , , , , , , , , , , ,

	M32R-II		SH3-DSP	
	平均	最大	平均	最大
	誤差%	誤差%	誤差%	誤差%
JPEG	2.70	10.32	3.17	11.89
JPEG_O	6.09	16.46	6.33	10.02
MPEG2	1.54	3.97	1.32	3.41
MPEG2_O	1.78	5.15	1.31	5.63
compress	5.00	6.41	5.73	10.84
compress_O	4.35	7.18	1.73	15.15
FFT	1.55	6.87	1.27	3.26
FFT_O	1.45	5.59	1.15	4.75
DCT	1.42	8.58	1.12	2.20
DCT_O	1.47	8.07	1.51	3.04
Total	2.74	16.46	2.47	15.15

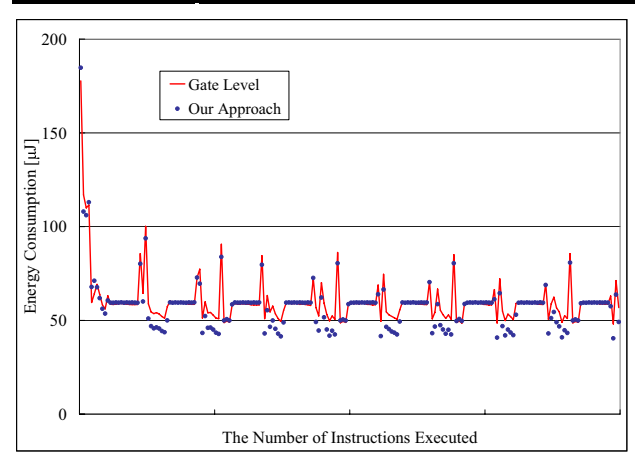


図 4 JPEG encoder を M32R-II で実行した結果

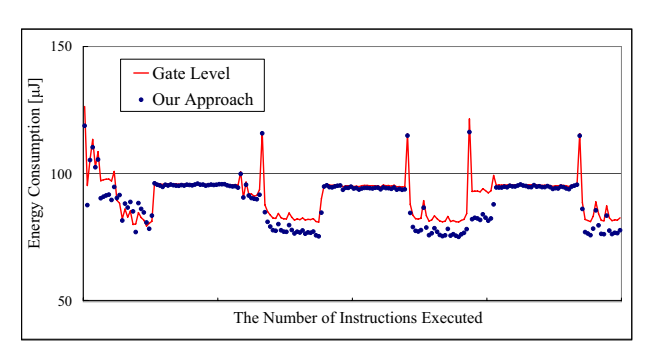


図 5 JPEG encoder を SH3-DSP で実行した結果

#### 5 コード配置最適化への応用

#### 5.1 コード配置の最適化

組込みプロセッサの消費エネルギーを改善する手法の1つとして、主記憶内のアプリケーションプログラムのコード配置を変更することによりメモリアクセスに要するエネルギーを削減す

る手法が数多く提案されている。文献[23]では、 頻繁に実行されるプログラムコードをスクラッ チパッドメモリ(以下 SPM)に配置することに よりメモリアクセスに伴うエネルギーを削減す る手法が提案されている。SPM はキャッシュメ モリに比べてアクセス当りの消費エネルギーが 小さいため、頻繁に実行される命令コードやデー タをキャッシュの代わりに SPM に配置すること によりメモリアクセスの消費エネルギーを削減 することができる。文献[24]や[25]では、プログ ラム中の関数やデータオブジェクトを主記憶上 に適切に配置することによりキャッシュの競合 ミスを削減する手法が提案されている。文献[26] では、参照の局所性が小さいデータをキャッシュ せずにバイパスすることによってキャッシュデ ータの無用な追い出しを減らしキャッシュミス 率を削減する手法が提案されている。これらの手 法は主にメモリアクセスの回数を目的関数とし ているため、必ずしもプロセッサシステム全体の 消費エネルギーを最小にするとは限らない。

#### 5.2 省エネルギー化のためのコード配置最適化

文献[27]で、筆者らは本稿の3章で述べた消費エネルギーの近似モデルと同様のモデルを用いてプロセッサシステム全体の消費エネルギーを削減する手法を提案している。具体的には、プロセッサシステムの詳細な消費エネルギーモデルに基づいて、目的コードを主記憶上のキャッシュ領域、SPM領域、あるいはアンキャッシュ領域のいずれかに配置することによりプロセッサシステムの消費エネルギーを最小化する。

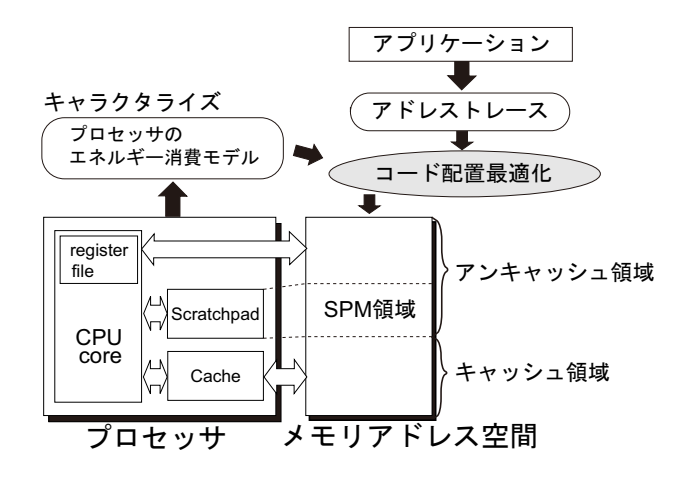


図 6 コード配置最適化のフロー

SH3-DSP と 3 種類のベンチマークプログラム (JPEG エンコーダ、MPEG2 エンコーダ、compress)を使用した実験により、筆者らの提案 手法がプロセッサシステムの性能を劣化させる ことなく消費エネルギーを約 25%削減できることを確認した[27]。

#### 6 おわりに

本稿ではマイクロプロセッサシステムの消費 エネルギーをキャラクタライズする一手法を示 した。また本手法を目的コードの配置最適化に応 用することによりプロセッサシステムの大幅な 省エネルギー化を達成できることを確認した。今 後はキャラクタライズフローの自動化とマルチ プロセッサシステムへの拡張を行う予定である。

#### 謝辞

本研究は東京大学大規模集積システム設計教育研究センターを通し、ケイデンス(株)、シノプシス(株)、 (株)ルネサステクノロジ、(株)日立製作所、及び、大日本印刷(株)の協力で行われたものである。本研究の一部は JST の CREST-ULP によるものである。

#### 参考文献

- [1] D. Lee, T. Ishihara, and H. Yasuura "An Energy Characterization Framework for Software-Based Embedded Systems," in Proc. of Workshop on Embedded Systems for Real Time Multimedia, pp.53-58, Oct. 2006.
- [2] W. Ye, N. Vijaykrishnan, M. Kandemir and M.J. Irwin, "The Design and Use of SimplePower: A Cycle-Accurate Energy Estimation Tool", Proc. of 37<sup>th</sup> DAC, pp.340-345, June 2000.
- [3] J. Flinn and M. Satyanarayanan, "Powerscope: a Tool for Profiling the Energy Usage of Mobile Applications", in Proc. of the 2<sup>nd</sup> IEEE workshop on Mobile Computing Systems and Applications, pp.2-10, February 1999.
- [4] W. R. Hamburgen, D. A. Wallach, M. A. Viredaz, L. S. Brakmo, C. A. Waldspurger, J. F. Bartlett, T. Mann, and K. I. Farkas, "Itsy: Stretching the Bounds of Mobile Computing", IEEE Computer, vol. 34, pp.28-37, April 2001.
- [5] V. Tiwari, S. Malik, and A. Wolfe, "Power Analysis of Embedded Software: A First Step towards Software Power Minimization", in Proc. of ICCAD, pp.384-390, Nov. 1994
- [6] M. T. C. Lee, V. Tiwari, S. Malik and M. Fujita, "Power Analysis and Low-Power Scheduling Techniques for Embedded DSP Software", in Proc. of the ISSS, pp.110-115, Sept. 1995.
- [7] N. Chang, K. Kim, and H. G. Lee, "Cycle-Accurate Energy Consumption Measurement and Analysis: Case Study of ARM7TDMI", In Proc. of ISLPED, pp.185-190, Aug. 2000.
- [8] C. Brandolese, W. Fornaciari, F. Salice, and D. Sciuto, "An Instruction-level Functionality-based Energy Eestimation Model for 32-bit Microprocessors," in Proc. of DAC, pp.346–351, June 2000.

- [9] A. Sama, M. Balakrishnan, and J. F. M. Theeuwen, "Speeding Up Power Estimation of Embedded Software", in Proc. of ISLPED, pp.191-196, Aug. 2000.
- [10] T. Sinha, and A. P. Chandrakasan, "JouleTrack A Web Based Tool for Software Energy Profiling", in Proc. of DAC, pp.220-205, June 2001.
- [11] A. Sinha, N. Ickes, A. P. Chandrakasan, "Instruction level and operating system profiling for energy exposed software", IEEE Transactions on Very Large Scale Integration (VLSI) Systems, vol.11, no.6, pp.1044–1057, Dec. 2003.
- [12] M. Sami, D. Sciuto, C. Silvano and V. Zaccaria, "Instruction-Level Power Estimation for Embedded VLIW Cores" in Proc. of 8<sup>th</sup> Int'l Workshop on Hardware/Software Co-design, pp.34-38, May 2000.
- [13] Trimaran: http://www.trimaran.org.
- [14] C. T. Hsieh, L. S. Chen, M. Pedram, "Microprocessor Power Analysis by Labeled Simulation," in Proc. of the Conference on DATE, pp.182–189, March 2001.
- [15] D. Brooks, V. Tiwari, and M. Matonosi, "Wattch: A Framework for Architectural-Level Power Analysis and Optimization", in Proc. of ISCA, pp.83-94, June, 2000.
- [16] J. T. Russell and M. F. Jacome, "Software power estimation and optimization for high performance, 32-bit embedded processors," in Proc. of ICCD, pp.328–333, Oct. 1998.
- [17] S. Steinke, M. Knauer, L. Wehmeyer, and P. Marwedel, "An Accurate and Fine Grain Instruction-Level Energy Model Supporting Software Optimizations", in Proc. of Int'l Workshop on Power And Timing Modeling, Optimization and Simulation, pp.3.2.1-3.2.10, September 2001.
- [18] T. Li and L. K. John, "Run-time Modeling and Estimation of Operating System Power Consumption", in Proc. of Int'l Conference on Measurements and Modeling of Computer Systems, pp.160-171, June 2003.
- [19] G. Contreras and M. Martonosi, "Power Reduction for Intel XScale® Processors Using Performance Monitoring Unit Events", in Proc. of ISLPED, pp.221-226, Aug. 2005.
- [20] W. L. Bircher, M. Valluri, J. Law, and L. K. John, "Runtime Identification of Microprocessor Energy Saving Opportunities", in Proc. of ISLPED, pp.275-280, Aug. 2005
- [21] T. K. Tan, A. Raghunathan, G. Lakshminarayana, N. K. Jha, "High-level Software Energy Macro-modeling", in Proc. of DAC, pp.605-610, June 2001.
- [22] "The Micron System Power Calculator", http://www.micron.com/support/part\_info/powercalc
- [23] S. Stenke, L. Wehmeyer, B.-S. Lee, P. Marwedel, "Assigning Program and Data Objects to Scratchpad for Energy Reduction", in Proc. of DATE, pp.409-415, 2002.
- [24] S. McFarling, "Program Optimization for Instruction Caches", in Proc. of ASPLOS, pp.183-191, April 1989.
- [25] P.Panda , N.Dutt , and A.Nicolau , "Memory Organization for Improved Data Cache Performance in Embedde Processors" , in Proc. of ISSS, pp.90-95, November 1996.
- [26] J. A. Rivers and E. S. Davidson, "Reducing Conflicts in Direct-Mapped Caches with a Temporality-Based Design", in Proc. of the 25<sup>th</sup> Int'l Conference on Parallel Processing, pp.154-163, Aug., 1996.
- [27] Y. Ishitobi, T. Ishihara, and H. Yasuura "Code Placement for Reducing the Energy Consumption of Embedded Processors with Scratchpad and Cache Memories," in Proc. of Workshop on Embedded Systems for Real Time Multimedia, pp.13-18, Oct. 2007.